

Como visto anteriormente,

$$\vec{E} = \frac{q}{2\pi\epsilon_0 r} \hat{r}$$

$$\Delta V = - \int \vec{E} \cdot d\vec{l}$$

$$V(P_2) - V(P_1) = - \frac{q}{2\pi\epsilon_0} \int_{P_1}^{P_2} \frac{dp}{p}$$

$$V(P_2) - V(P_1) = - \frac{q}{2\pi\epsilon_0} \ln\left(\frac{P_2}{P_1}\right)$$

$P_2 \rightarrow \infty \quad \Delta V \rightarrow \infty$; Evolução o zero do potencial

em $p = a \quad V(a) = 0$

$$V(p) = - \int_0^p \vec{E} \cdot d\vec{l}$$

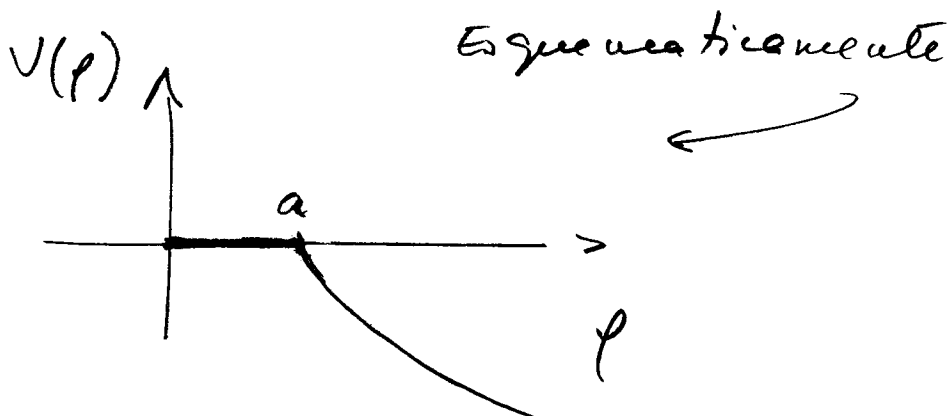
$$V(p) = - \frac{q}{2\pi\epsilon_0} \ln\left(\frac{p}{a}\right)$$

No caso de um cilindro condutor de raio a , o excesso de carga estará todo distribuído na superfície cilíndrica. O campo elétrico no interior do cilindro tem que ser nulo no equilíbrio eletrostático.

Neste caso, com esse encolhe de origens temos

$$Q = \lambda L = \frac{\sigma S}{2\pi a L} \Rightarrow \lambda = \frac{G\sigma}{2\pi a}$$

$$V(r) = -\frac{G\sigma a}{2\pi \epsilon_0} \ln\left(\frac{r}{a}\right) = -\frac{Ga}{\epsilon_0} \ln\left(\frac{r}{a}\right)$$

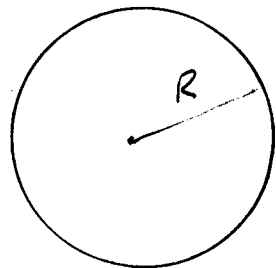


$$\vec{E}(r) = -\frac{\partial V}{\partial r} \hat{r}$$

$$\boxed{\vec{E}(r) = \frac{\sigma}{\epsilon_0 r} \hat{r}}$$

Superfície esférica uniformemente carregada

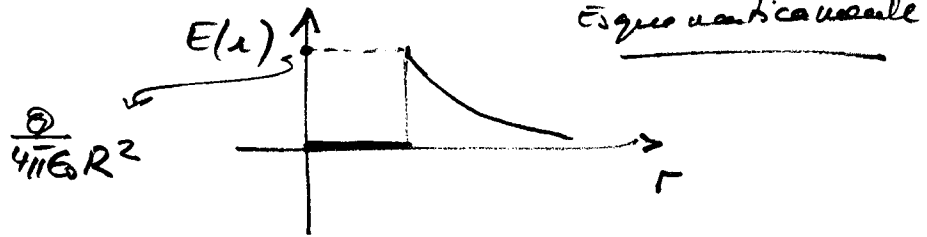
$$Q = \sigma A = \sigma 4\pi R^2$$



Campo elétrico em todo o espaço pode ser obtido pela lei de Gauss.

$$\vec{E} = E(r) \hat{r}$$

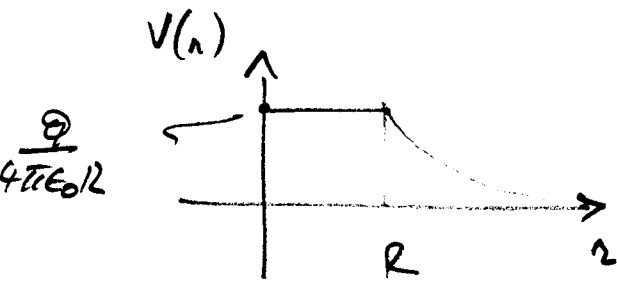
$$E(r) = \begin{cases} \frac{Q}{4\pi\epsilon_0 r^2} & r > R \\ 0 & r < R \end{cases}$$



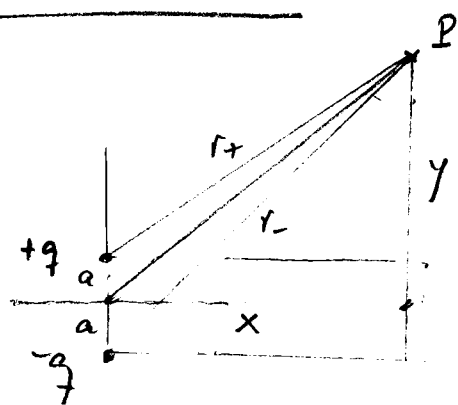
Escolhendo a origem de potenciais em $R \rightarrow \infty$

$$V(r) = - \int_{\infty}^r \epsilon(r') dr' = \frac{q}{4\pi\epsilon_0 r} \quad r \geq R$$

$$\frac{q}{4\pi\epsilon_0 r} \quad r \leq R$$



Dipolo elétrico



$$V(r) = \frac{q}{4\pi\epsilon_0 r_+} - \frac{q}{4\pi\epsilon_0 r_-}$$

$$= \frac{q}{4\pi\epsilon_0} \left\{ \frac{1}{r_+} - \frac{1}{r_-} \right\}$$

$$r_+ = (x^2 + (y-a)^2)^{1/2}$$

$$r_- = (x^2 + (y+a)^2)^{1/2}$$

$$\text{Para } r \gg a \quad r = (x^2 + y^2)^{1/2}$$

$$\underline{r}_\pm^{-1} = [x^2 + (y \pm a)^2]^{-1/2} = [x^2 + y^2 \mp 2ay + a^2]^{-1/2}$$

$$= [r^2 \mp 2ay + a^2]^{-1/2} = \bar{r}^{-1} \left[1 \mp \frac{2ay}{r^2} + \frac{a^2}{r^2} \right]^{-1/2}$$

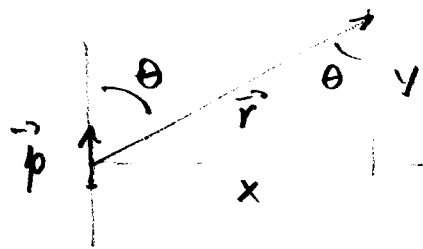
$$\sim \frac{1}{r} \left[1 \pm \frac{ay}{r^2} \right] \Rightarrow$$

$$\left\{ \frac{1}{r_+} - \frac{1}{r_-} \right\} \sim \frac{2ay}{r^3} \Rightarrow V(\vec{r}) \sim \frac{q}{4\pi\epsilon_0} \frac{2ay}{r^3}$$

$$p = 2aq \Rightarrow V(\vec{r}) = \frac{py}{4\pi\epsilon_0 r^3}$$

Podem escrever

$$y = r \cos \theta \quad \Rightarrow$$



$$V(\vec{r}) \sim \frac{p \cos \theta}{4\pi\epsilon_0 r^3} = \frac{\vec{p} \cdot \hat{r}}{4\pi\epsilon_0 r^3}$$

Pare isso! $V(\vec{r})$ cai com $1/r^2$. Note que para um campo ponderal $V(\vec{r})$ cai com $1/r$.

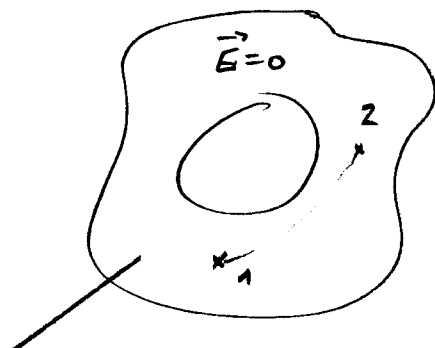
$$\vec{E} = -\vec{\nabla} V$$

$$\vec{p} = p \hat{y}$$

$$V \sim \frac{p y}{4\pi\epsilon_0 r^3}$$

Mostra que: $\vec{E} \sim \frac{1}{4\pi\epsilon_0} \left[-\vec{p} + 3(\vec{p} \cdot \hat{r})\hat{r} \right] / r^3$

Potencial em condutores



O campo elétrico no interior do condutor em equilíbrio eletrostático deve ser nulo

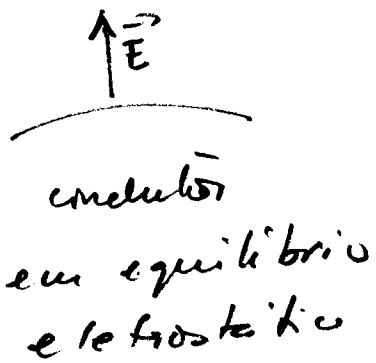
$$V(P_2) - V(P_1) = - \int_{P_1}^{P_2} \vec{E} \cdot d\vec{l} = 0$$

$$V(P_2) = V(P_1)$$

Condutor em equilíbrio eletrostático

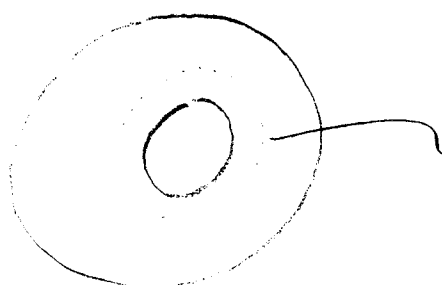
Todos os pts no interior tem o mesmo potencial.

Em particular a superfície do condutor é uma superfície equipotencial. Não pode haver componente de \vec{E} tangente à superfície

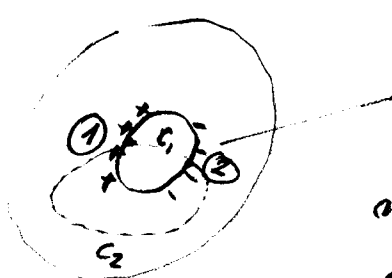


$E_{||}$ à superfície deve ser nula
 \vec{E} deve ser 0 à superfície próximas a ela.

Se o condutor estiver carregado, e não houver carga no interior da cavidade \Rightarrow a carga deve estar distribuída na superfície externa do condutor



carga total envolvida por qq superfície Gaussiana envolvendo a cavidade e contida no condutor deve ser nula.



Esta distribuição satisfaz isso, mas é inaceitável pq se saio do pto 1 e volto ao ponto 1 $\Delta V = 0$

$$\int_1^2 \vec{E} \cdot d\vec{l} + \int_2^1 \vec{E} \cdot d\vec{e} = 0$$

ao longo de C_1 ao longo de C_2

Como $\int_2^1 \vec{E} \cdot d\vec{e} = 0$ pois C_2 está dentro do condutor

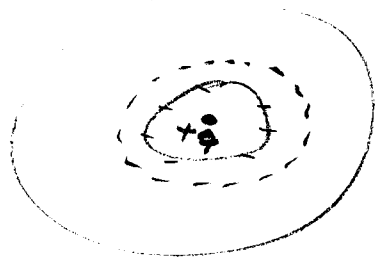
Temos $\int \vec{E} \cdot d\vec{l} = 0$

(1) ao longo de l ,

Portanto se os lados do campo iniciam-se em (1) e terminam em (2), como ilustra a fig.,
isto deverei dar $\neq 0$!

Ou seja, isso não pode acontecer no equilíbrio eletrostático.

A situaçā muda de figura se houver uma carga na cavidade. Nesse caso,
ele será blindado de modo que o campo
no interior do condutor seja nulo no
equilíbrio.



A carga induzida na
superfície interna ($-q$)

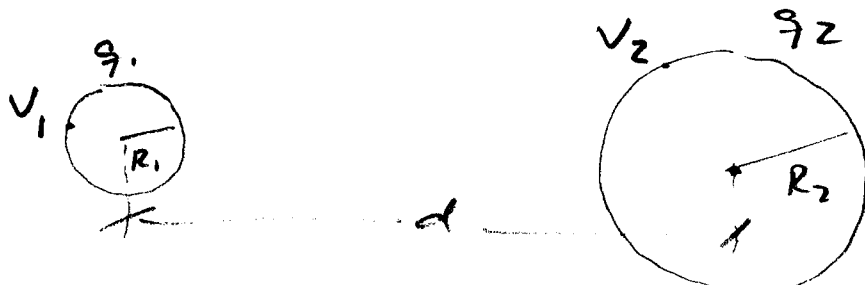
Se o condutor estiver neutro
aparecerá uma carga ($+q$) na
sua superfície externa. Nota que, nesse
caso, o campo forç. não deve ser nulo.

(17)

Contato entre dois condutores: efeitos das portas

condutores

Considere duas esferas de raízes R_1 e R_2 , com cargas q_1 e q_2 , respectivamente, separadas por uma distância $d \gg R_1$ e R_2 .



Os potenciais nas superfícies desses esferas serão dados, respectivamente por

$$V_1 = \frac{1}{4\pi\epsilon_0} \left(\frac{q_1}{R_1} + \frac{q_2}{d} \right)$$

$$V_2 = \frac{1}{4\pi\epsilon_0} \left(\frac{q_2}{R_2} + \frac{q_1}{d} \right)$$

Se $d \gg R_1$ e $R_2 \Rightarrow$

$$V_1 \approx \frac{1}{4\pi\epsilon_0} \frac{q_1}{R_1} \quad V_2 \approx \frac{1}{4\pi\epsilon_0} \frac{q_2}{R_2}$$

como se elas fossem isoladas.

Se as esferas forem conectadas por um fio condutor, irá fluir carga de um condutor para outro através do fio.

Se $\Delta V \neq 0 \Rightarrow$ existe campo elétrico

$$\vec{E} = -\vec{\nabla}V$$

(15)

Vamos supor que esse fio teji muito fino, de tal modo que ele apenas funciona como um meio para possibilitar a redistribuição de cargas entre as esferas.

A carga total inicial $Q = q_1 + q_2$ é conservada. Assim, chamando q'_1 e q'_2 as cargas finais (depois da redistribuição) nas esferas ① e ②, respectivamente, temos:

$$q_1 + q_2 = q'_1 + q'_2$$

A redistribuição cessa quando as potências finais

$$\frac{q'_1}{4\pi\epsilon_0 R_1} = \frac{q'_2}{4\pi\epsilon_0 R_2} \Rightarrow \boxed{\frac{q'_1}{q'_2} = \frac{R_1}{R_2}}$$

$$Q = q'_1 + q'_2 = q'_1 \left(1 + \frac{R_2}{R_1}\right) \quad q'_2 = \frac{R_2}{R_1} q'_1$$

$$\boxed{q'_1 = \frac{QR_1}{R_1 + R_2}} \quad \boxed{q'_2 = \frac{QR_2}{R_1 + R_2}}$$

As densidades superficiais de carga

$$\sigma'_1 = \frac{q'_1}{4\pi R_1^2} = \frac{Q}{4\pi R_1(R_1 + R_2)}$$

$$\sigma'_2 = \frac{Q}{4\pi R_2(R_1 + R_2)}$$

Ou seja,

$$\boxed{\frac{\sigma'_1}{\sigma'_2} = \frac{R_2}{R_1}}$$

A densidade de carga será maior na superfície de raio menor. Ela é inversamente proporcional ao raio de curvatura



densidade de carga
na fonte é maior.

O campo elétrico próximo a um condutor é dado por $\vec{E} = \sigma/\epsilon_0 \hat{n}$ (\hat{n} à superfície do condutor)

Quanto menor σ menor o campo nesse ponto.

Os para-raios usam essa propriedade.

Funcionamento dos geradores van de Graaff.

Infinitesimamente, para força conservativa,

$$dU = -\vec{F} \cdot \vec{dl}$$



$$\vec{F} \cdot \vec{dl} \cos \theta$$

$\underbrace{F \cos \theta}_{F_x}$ = componente de \vec{F} ao longo de \vec{dl} .

$$dU = -F_x dl$$

$$\boxed{F_x = -\frac{dU}{dl}}$$

Isto é uma derivada "direcional"

A derivada de U na direção \vec{dl} nos dá $-F_x$:

(-) componente de \vec{F} na direção \vec{dl} .

O nome desse "derivada direcional" é
gradiente.

Em coordenadas Cartesianas

$$dU = -\vec{F} \cdot \vec{dl}$$

$$\begin{aligned} \vec{F} &= f_x \hat{x} + f_y \hat{y} + f_z \hat{z} & \Rightarrow \vec{F} \cdot \vec{dl} &= f_x dx + f_y dy + f_z dz \\ \vec{dl} &= dx \hat{x} + dy \hat{y} + dz \hat{z} \end{aligned}$$

$$U = U(x, y, z) \rightarrow dU = \frac{\partial U}{\partial x} dx + \frac{\partial U}{\partial y} dy + \frac{\partial U}{\partial z} dz$$

$$dU = -\vec{F} \cdot \vec{dl} \Rightarrow \frac{\partial U}{\partial x} dx + \frac{\partial U}{\partial y} dy + \frac{\partial U}{\partial z} dz = -\{f_x dx + f_y dy + f_z dz\}$$

5.2 →

Isso vale para todo deslocamento arbitrário de.

Nesse caso, $F_x = -\frac{\partial U}{\partial x}$; $F_y = -\frac{\partial U}{\partial y}$; $F_z = -\frac{\partial U}{\partial z}$

O gradiente de uma função escalar U em coordenadas Cartesianas é definido por

$$\vec{\nabla} U = \frac{\partial U}{\partial x} \hat{x} + \frac{\partial U}{\partial y} \hat{y} + \frac{\partial U}{\partial z} \hat{z}$$

$$\Rightarrow \boxed{\vec{F} = -\vec{\nabla} U}$$

Analogamente, $\boxed{\vec{E} = -\vec{\nabla} V}$

$$\vec{F} = q \vec{E}; \quad \partial U = q \partial V$$

Em símbolo $\frac{\partial U}{\partial x} = \lim_{\Delta x \rightarrow 0} \frac{U(x+\Delta x, y, z) - U(x, y, z)}{\Delta x}$

variações infinitesimal ao longo de direção \hat{x} aponta.

Analogamente

$$\frac{\partial U}{\partial y} = \lim_{\Delta y \rightarrow 0} \frac{U(x, y+\Delta y, z) - U(x, y, z)}{\Delta y}$$

$$\frac{\partial U}{\partial z} = \lim_{\Delta z \rightarrow 0} \frac{U(x, y, z+\Delta z) - U(x, y, z)}{\Delta z}$$

/ com derivadas parciais em relação a x, y e z , respectivamente.

